







Page et ligne (ou emplacement)	Avant correction	Après correction	Commentaire
xiv et 12	Technique de déplacement de source de tension idéale	Technique de déplacement de sources de tension idéales	Ajout des « s »
xx et 25	Section productrice de zéros de transmission à $s = a$ ($a < 0$)	Section productrice d'un zéro de transmission à $s = a$ ($a < 0$)	Retrait du « s »
xx et 28	Détermination de fonctions de transfert à partir de circuits en échelle passifs-analyse	Détermination de fonctions de transfert à partir de circuits passifs en échelle-analyse	Déplacement du mot « passifs »
xxii et 19	Modèle hybride [g]	Modèle hybride alternatif [g]	Ajout du mot « alternatif » et de « g » en gras
xxxii et 11	Ligne vide après A_B	Sans ligne vide après A_B	Retrait de la ligne vide
xxxix et 13	P_T : gain en tension d'un système; puissance active dans une charge triphasée équilibrée	puissance active dans une charge triphasée équilibrée	Retrait de « P_T : gain en tension d'un système; »
xliv et 13	$V(s)$: transformée de Laplace d'un courant $v(t)$	$V(s)$: transformée de Laplace d'une tension $v(t)$	Remplacement du mot « d'un courant » par « d'une tension »
xlvi et 2	R^{-1} : corps des nombres réels négatifs	R : corps des nombres réels négatifs	Retrait du « 1 » en exposant
xlvi et 2	$[E F]$ $[G H]$: Matrice du modèle de ligne d'un quadripôle	$[E F]$ $[G H]$: Matrice du modèle de ligne alternatif d'un quadripôle	Ajout du mot « alternatif »
10 et 4	$W = P \cdot \Delta t = 100 \text{ W} \cdot 1 \text{ h} = 1 \text{ kWh}$	$W = P \cdot \Delta t = 100 \text{ W} \cdot 10 \text{ h} = 1 \text{ kWh}$	Remplacement de « 1 » par « 10 ».
21 et tableau 1.3	Perméabilités relatives	Perméabilité relative	Retrait des « s »
30 et 13	La constante de dépendance β représente le gain de courant	La constante de dépendance β représente un gain de courant	Remplacement de « le » par « un »
57 et figure de P12	R	<i>R</i>	Remplacement du « R » de gauche par « <i>R</i> » en italique
77 et figure	• • • •		Retrait des 4 « • » isolés de la figure
78 et figure 2.7			Ajout de la tête de flèche pour la 2 ^e supermaille
118 et figure de P12		1 Ω	Ajout de « 1 Ω » aux bornes de la résistance sans valeur
183 et dernière ligne	$De^{-at} + (\omega_p t + \theta) + Y$	$De^{-at} \cos(\omega_p t + \theta) + Y$	Remplacement du « + » par « cos »
242 et 8	$i(t) = \underbrace{\frac{3}{5} e^{-2t} - e^{-3t}}_{\text{Solution homogène}} + \underbrace{\frac{1}{\sqrt{5}} \cos(t - 26,56^\circ)}_{\text{Solution particulière}}$ <p>pour $t \geq 0$</p>	$i(t) = \underbrace{\frac{3}{5} e^{-2t}}_{\text{Solution homogène}} - \underbrace{e^{-3t} + \frac{1}{\sqrt{5}} \cos(t - 26,56^\circ)}_{\text{Solution particulière}}$ <p>pour $t \geq 0$</p>	Modification de l'accolade : « solution homogène » pour la 1 ^{ère} exponentielle et « solution particulière » pour la 2 ^e exponentielle et le cosinus

Page et ligne (ou emplacement)	Avant correction	Après correction	Commentaire
282 et 31	$\mathbf{x}_i(t_0)$	$\mathbf{x}(t_0)$	Retrait du « i »
297 et avant figure 7.3	$x(t)$ tend vers 0	$\mathbf{x}(t)$ tend vers 0	Remplacement de « x » par « \mathbf{x} » en gras
297 et figure 7.3	$x(t_0)$	$\mathbf{x}(t_0)$	Remplacement de « x » par « \mathbf{x} » en gras
299 et 2	à la figure 7.6)	à la figure 7.6).	Ajout de « . » à la fin de la phrase
300 et 11	et les vecteurs propres $p^{(i)}$ associés	et les vecteurs propres $\mathbf{p}^{(i)}$ associés	Remplacement de « p » par « \mathbf{p} » en gras
304 et figure 7.11	$p^{(1)}$	$\mathbf{p}^{(1)}$	Remplacement de « p » par « \mathbf{p} » en gras
304 et figure 7.11	$p^{(2)}$	$\mathbf{p}^{(2)}$	Remplacement de « p » par « \mathbf{p} » en gras
305 et 3	les vecteurs propres ($p^{(i)}$)	les vecteurs propres ($\mathbf{p}^{(i)}$)	Remplacement de « p » par « \mathbf{p} » en gras
307 et figure 7.14	$p^{(2)}$	$\mathbf{p}^{(2)}$	Remplacement de « p » par « \mathbf{p} » en gras
309 et 4	$p^{(1)}$	$\mathbf{p}^{(1)}$	Remplacement de « p » par « \mathbf{p} » en gras
309 et 5	$p^{(1)}$ et $p^{(2)}$	$\mathbf{p}^{(1)}$ et $\mathbf{p}^{(2)}$	Remplacement de « p » par « \mathbf{p} » en gras
319 et avant d)	Ligne vide	Sans ligne vide	Retrait de la ligne vide
350 et vers le bas de la page	= 254,558 VA	= 254,558 kVA	Ajout de « k »
351 et tableau	= 700 VA	= 700 kVA	Ajout de « k »
364 et après équation 8.47	(séquence a, b, c dans le sens horaire)	(séquence a, c, b dans le sens horaire)	Permutation de « b » et de « c »
367 et équation 8.57	= < -150°	= $I_1 < -150^\circ$	Ajout de « I_1 »
367 et équation 8.57	= < 90°	= $I_1 < 90^\circ$	Ajout de « I_1 »
367 et équation 8.58	= < 150°	= $I_1 < 150^\circ$	Ajout de « I_1 »
367 et équation 8.58	= < -90°	= $I_1 < -90^\circ$	Ajout de « I_1 »
383 et figure de P2	$\overline{V}_s = 120 \angle 0^\circ$	$\overline{V}_s = 120 \angle 0^\circ$	Remplacement de « s » par « s » en indice
398 et 11	$J = \arctan(\dots/L_p \omega^2)$	$J = \arctan(\dots/L_p \omega)$	Retrait de l'exposant « 2 »
410 et après la dernière ligne) _____	Ajout de la ligne de fin d'exemple
411 et avant la première ligne) _____		Retrait de la ligne de fin d'exemple
418 et figure 9.27	$ H(j\omega)_{\max} $ [dB] pour $\xi = 0,3$	$ H(j\omega_{\max}) $ [dB] pour $\xi = 0,3$	Déplacement de l'indice « \max » à l'intérieur de la parenthèse, comme indice de ω
429 et 2	pour $\omega \ll \omega$	pour $\omega \ll \omega_1$	Ajout de l'indice « 1 »
429 et 3	pour $\omega \ll \omega$	pour $\omega \ll \omega_1$	Ajout de l'indice « 1 »
429 et 4	pour $\omega \ll \omega$	pour $\omega \ll \omega_1$	Ajout de l'indice « 1 »
442 et figure droite du bas de la page	V_e	$\approx V_e$	Ajout de « \approx »

Page et ligne (ou emplacement)	Avant correction	Après correction	Commentaire
444 et figure du haut	De gauche à droite : $R_{Th} = 1 \text{ k}\Omega$; $R_{Th} = 10 \text{ k}\Omega$; $R_{Th} = 100 \text{ k}\Omega$; $R_{Th} = 1 \text{ M}\Omega$	De gauche à droite : $R_{Th} = 1 \text{ M}\Omega$; $R_{Th} = 100 \text{ k}\Omega$; $R_{Th} = 10 \text{ k}\Omega$; $R_{Th} = 1 \text{ k}\Omega$	Interversion des valeurs de R_{Th}
444 et figure du bas	De gauche à droite : $R_{Th} = 1 \text{ k}\Omega$; $R_{Th} = 10 \text{ k}\Omega$; $R_{Th} = 100 \text{ k}\Omega$; $R_{Th} = 1 \text{ M}\Omega$	De gauche à droite : $R_{Th} = 1 \text{ M}\Omega$; $R_{Th} = 100 \text{ k}\Omega$; $R_{Th} = 10 \text{ k}\Omega$; $R_{Th} = 1 \text{ k}\Omega$	Interversion des valeurs de R_{Th}
459 et 1 de P5	d'un système linéaire	d'un système linéaire du deuxième degré	Ajout de « du deuxième degré »
467 et équation de Q_b	[]	[]	Ajout de lignes courtes dans le haut des crochets
478 et équation 10.21	$+\frac{1}{2}C_s [v(t)]^2$	$+\frac{1}{2}C_p [v(t)]^2$	Remplacement de « s » en indice par « p » en indice
513 et ligne avant c)	$R = 5\Omega$	$R = 5 \Omega$	Ajout d'une espace entre 5 et Ω
515 et figure b) en bas de la page	Deux points de connexion manquants pour la capacité	Deux points de connexion pour la capacité	Ajout de deux points de connexion pour la capacité
518 et 7	technique de diviseur de tensions	technique du diviseur de tension	Remplacement de « de » par « du » et enlèvement de « s »
544 et équation de la section c)	$P_{f_{ce}} = P_C \cdot S_C^{f_{ce}} + P_L \cdot S_C^{f_{ce}} $	$P_{f_{ce}} = P_C \cdot S_C^{f_{ce}} + P_L \cdot S_L^{f_{ce}} $	Remplacement de « C » par « L »
549 et figure de droite	$V_{2h}(t)$	$v_{2h}(t)$	Remplacement de « V » par « v »
565 et équation 11.4	$CMRR = \frac{A_d}{ A_{mc} }$ et $CMRR \text{ (dB)} = 20 \log_{10} \left(\frac{A_d}{ A_{mc} } \right)$	$CMRR = \frac{A_d}{A_{mc}}$ $CMRR \text{ (dB)} = 20 \log_{10} \left(\frac{A_d}{A_{mc}} \right)$	Retrait de « » de part et d'autre de A_{mc} en deux endroits
569 et 4 ^e ligne	$GBW \cdot \omega_{c0}$	$GBW = \omega_{c0}$	Remplacement de « » par « = »
587 et équation avant l'exemple 11.8	$\Rightarrow R_3 \approx (R_1 // R_2)$	$\Rightarrow R_3 \approx (R_1 // R_2)$ si $R_1 // R_2 \gg \frac{V_{io}}{I_b^+}$	Ajout de « si $R_1 // R_2 \gg \frac{V_{io}}{I_b^+}$ »
591 et figure de l'exemple 11.9	$A \cdot \left[\frac{-v_e^- + \frac{v_e^-}{2 \cdot CMRR}}{1 + s \frac{A}{2\pi \cdot CMRR}} \right]$	$A \cdot \left[\frac{-v_e^- + \frac{v_e^-}{2 \cdot CMRR}}{1 + s \frac{A}{2\pi \cdot GBW}} \right]$	Remplacement de « CMRR » par « GBW »
594 et après la figure 11.23	$v_e^+ = v_e^- = 0$	$v_e^+ = v_e^- = 0$	Alignement avec le texte de la phrase
596 et matrice des conductances du milieu de la page, ligne 2 et 3 ^e rangée	$-\frac{1}{R_1}$	$-\frac{1}{R_2}$	Remplacement de l'indice « 1 » par l'indice « 2 »
607 et avant la 3 ^e équation depuis le bas de la page	$\frac{A}{\tau} 1 $	$\frac{A}{\tau} \left(\frac{1}{RC} \right)$	Retrait de « » et ajout de parenthèses englobant « $1/RC$ »

Page et ligne (ou emplacement)	Avant correction	Après correction	Commentaire
614 et équation 11.25	$\frac{V_s}{V_e} = \frac{s^2}{s^2 + \frac{(R_1 C_2 + R_2 C_2)}{R_1 R_2 C_1 C_2} + \frac{1}{R_1 R_2 C_1 C_2}}$	$\frac{V_s}{V_e} = \frac{s^2}{s^2 + \frac{(R_1 C_2 + R_1 C_1)}{R_1 R_2 C_1 C_2} + \frac{1}{R_1 R_2 C_1 C_2}}$	Remplacement de « $R_2 C_2$ » par « $R_1 C_1$ »
626 et 3 ^e équation depuis le bas de la page	$V = V(V - RI) \frac{Z}{Z + R}$	$V = (V - RI) \frac{Z}{Z + R}$	Retrait de « V »
642 et titre de la section 12.2.3	Section productrice de zéros de transmission à $s = a$	Section productrice d'un zéro de transmission à $s = a$	Retrait de « s »
645 et titre de la section 12.3.1	Détermination de fonctions de transfert à partir de circuits en échelle passifs - analyse	Détermination de fonctions de transfert à partir de circuits passifs en échelle - analyse	Permutation de « en échelle » et de « passifs »
656 et figure 12.11 (d)	$f_a^- \quad f_p^- \quad f_{ce} \quad f_p^+ \quad f_a^+$	$f_p^- \quad f_a^- \quad f_{ce} \quad f_a^+ \quad f_p^+$	Permutation de « f_a^- » et de « f_p^- », ainsi que de « f_a^+ » et « f_p^+ »
657 et 1 ^{re} équation	$f_{ce} = \sqrt{f_p^+ \cdot f_p^-}$	$f_{ce} = \sqrt{f_p^+ \cdot f_p^-} = \sqrt{f_a^+ \cdot f_a^-}$	Ajout de « $= \sqrt{f_a^+ \cdot f_a^-}$ »
657 et 6	$f_a^+ - f_a^-$: différence de fréquences pour laquelle l'amplitude de la réponse en fréquence d'un filtre passe-bande correspond à A_{\min} (en raison de la plage de transition).	$f_a^+ - f_a^-$: bande passante d'un filtre passe-bande incluant la plage de transition.	Modification de la phrase
657 et 11	A_{\max}	A_{\min}	Remplacement de l'indice « \max » par l'indice « \min »
657 et 13	$f_p^+ - f_p^-$: différence de fréquences pour laquelle l'amplitude de la réponse en fréquence d'un filtre coupe-bande correspond à A_{\min} (en raison de la plage de transition).	$f_p^+ - f_p^-$: bande d'arrêt d'un filtre coupe-bande incluant la plage de transition.	Modification de la phrase
657 et 15	$f_a^- < f_p^-$ et $f_a^+ > f_p^+$	$f_a^- > f_p^-$ et $f_a^+ < f_p^+$	Permutation de « $>$ » et de « $<$ »
667 8 ^e ligne depuis le bas de la page	En passant par -180° pour $f = f_c$	En passant par $-230,66^\circ$ pour $f = f_c$	Remplacement de « -180° » par « $-230,66^\circ$ »
667 7 ^e ligne depuis le bas de la page	En passant par -135° pour $f = f_c$	En passant par $-154,374^\circ$ pour $f = f_c$	Remplacement de « -135° » par « $-154,374^\circ$ »
667 6 ^e ligne depuis le bas de la page	En passant par -90° pour $f = f_c$	En passant par $-84,665^\circ$ pour $f = f_c$	Remplacement de « -90° » par « $-84,665^\circ$ »
684 et 1 ^{re} équation	$\omega' = -\frac{B}{2\omega} \pm \sqrt{\frac{B^2}{2\omega} + \omega_{ce}^2}$	$\omega' = -\frac{B}{2\omega} \pm \sqrt{\left(\frac{B}{2\omega}\right)^2 + \omega_{ce}^2}$	Ajout de parenthèses ()

Page et ligne (ou emplacement)	Avant correction	Après correction	Commentaire
686 et expression au numérateur de H(s)	$0,491\ 307 \cdot 10^{-8} (s^2 + 10^6)^3$	$0,491\ 307 (s^2 + 10^6)^3$	Retrait de « $\cdot 10^{-8}$ »
702 et expression au numérateur de H(s)	$\frac{1}{R_3 R_4 C^2}$	s^2	Remplacement de « $\frac{1}{R_3 R_4 C^2}$ » par « s^2 »
705 et 8	$f_a^+ - f_a^-$ représente la différence de fréquence pour laquelle l'atténuation est égale à A_{\min}	$f_a^+ - f_a^-$ représente la bande passante incluant la plage de transition	Modification de la phrase
705 et 13	$f_p^+ - f_p^-$ représente la différence de fréquence pour laquelle l'atténuation est égale à A_{\min}	$f_p^+ - f_p^-$ représente la bande d'arrêt incluant la plage de transition	Modification de la phrase
728 et la 1 ^{re} équation du groupe d'équations avant la section 13.5	$G(j\omega_o) \cdot H(j\omega_o) = \dots = -1$	$G(j\omega_o) \cdot H(j\omega_o) = \dots = 1$	Remplacement de « -1 » par « 1 »
728 et 2 ^e équation du groupe d'équations avant la section 13.5	$jR'R^3C^3\omega_o^2 = jR^4C^3\omega^3$ $-j5R^2C\omega_o + 1 - 6R^2C^2\omega_o^2$	$jR'R^3C^3\omega_o^3 = -jR^4C^3\omega_o^3$ $+j5R^2C\omega_o + R - 6R^3C^2\omega_o^2$	Correction de l'équation
728 et la 4 ^e équation du groupe d'équations avant la section 13.5	$R'R^3C^3\omega_o^3 = R^4C^3\omega_o^3$ $-5R^2\omega_o \Rightarrow \frac{R'}{R} = 29$	$R'R^3C^3\omega_o^3 = -R^4C^3\omega_o^3$ $+5R^2C\omega_o \Rightarrow \frac{R'}{R} = 29$	Correction de l'équation
731 et 4 ^e ligne depuis la fin de la page	$v_c(\infty) = 3,25\text{ V}$	$v_c(-\infty) = 3,25\text{ V}$	Remplacement de « ∞ » par « $-\infty$ »
734 et bas de la page			Ajout d'une ligne de fin d'exemple
735 et haut de la page			Retrait de la ligne de fin d'exemple
749 et figure 13.25 (b)			Ajout d'une flèche dirigée vers le haut dans le cercle vide
770 et figure (b) de P2	10^{-3}	1	Remplacement de la pente de la droite « 10^{-3} » par « 1 »
784 et 19 ^e ligne	$138,6\sqrt{2} \cos(100t - 16,1^\circ)$ correspond	$138,6\sqrt{2} \cos(100t - 16,1^\circ)$ qui correspond	Ajout de « qui » avant « correspond »
789 et figure (b) de l'exemple 14.9	Lien à L_2 fait en trait fin	Lien à L_2 fait en trait régulier	Élargissement du lien à L_2

Page et ligne (ou emplacement)	Avant correction	Après correction	Commentaire
797 et la dernière équation matricielle	$\begin{bmatrix} 2 + \frac{5}{14s} & -2 - \frac{1}{14s} \\ -2 - \frac{1}{14s} & \frac{13}{14s} \end{bmatrix}$	$\begin{bmatrix} 2 + \frac{5}{14s} & -2 - \frac{1}{14s} \\ -2 - \frac{1}{14s} & 6 + s^{-1} + \frac{3}{14s} \end{bmatrix}$	Remplacement de « $\frac{13}{14s}$ » par « $6 + s^{-1} + \frac{3}{14s}$ »
817 et figure (c) en bas de la page	I_s	nI_s	Ajout de « n »
832 et titre de la section 15.3.4	Modèle hybride [g]	Modèle hybride alternatif [g]	Ajout de « alternatif »
841 et 3 ^e ligne et 4 ^e colonne du tableau 15.1	$\frac{h_{12}}{h_{11}}$	$\frac{-h_{12}}{h_{11}}$	Ajout d'un signe « - »
841 et 4 ^e ligne et 2 ^e colonne du tableau 15.1	$\frac{Z_{21}}{Z_{22}}$	$\frac{-Z_{21}}{Z_{22}}$	Ajout d'un signe « - »
841 et 4 ^e ligne et 3 ^e colonne du tableau 15.1	$\frac{Y_{12}}{Y_{11}}$	$\frac{-Y_{12}}{Y_{11}}$	Ajout d'un signe « - »
844 et équation 15.38	$[Z_T] = [Z_1] = [Z_2]$	$[Z_T] = [Z_1] + [Z_2]$	Remplacement de « = » par « + »
844 et équation 15.39	$[Y_T] = [Y_1] = [Y_2]$	$[Y_T] = [Y_1] + [Y_2]$	Remplacement de « = » par « + »
844 et équation 15.40	$[h_T] = [h_1] = [h_2]$	$[h_T] = [h_1] + [h_2]$	Remplacement de « = » par « + »
845 et équation 15.41	$[g_T] = [g_1] = [g_2]$	$[g_T] = [g_1] + [g_2]$	Remplacement de « = » par « + »
846 et figure de l'exemple 15.11	$h_1 = \begin{bmatrix} -s & 3 \\ -s & -(s+3) \end{bmatrix}$	$h_1 = \begin{bmatrix} s & -3 \\ -s & (s+3) \end{bmatrix}$	Correction du contenu de la matrice
881 et 15	Finalement, en considère une	Finalement, on considère une	Remplacement de « en » par « on »
886 et 2 ^e ligne avant la section 16.7	960 W · 200 jours/an · 20 h/jour = 384 kWh	960 W · 200 jours/an · 20 h/jour = 3 840 kWh	Remplacement de « 384 kWh » par « 3 840 kWh »
886 et 1 ^{re} ligne avant la section 16.7	coût de 384 · 0,08 \$ = 307,20 \$/an	coût de 3 840 · 0,08 \$ = 307,20 \$/an	Remplacement de « 384 » par « 3 840 »